

1. はじめに

stochastic hydrology の利点の一つは限られたデータからより客観的に有効な情報を引き出せることにあり、最近その手法に基づく流出解析がかなりの成果を修めている。この stochastic hydrology は他のアプローチ、例えば dynamic hydrology, parametric hydrology など、と相反する立場に立つものではなく、それらが互いに補完し合い発展すべきものであるとして、これまでに幾人かの研究者がそれらの手法間の融合について議論を始めている。本報でもこの観点に立ち、特に stochastic の手法による情報に基づいて parametric な解析を進める試みについて検討してみた。ここでは流出の非線型性に注目することとし、そのために流出系の全体的把握に優れるとされる 2 次流出核と用いて考察した。まず、拡張遅延フィルター相関法により求まる各種奥河川流域の非線型流出核の特徴と理解し、それに基づいて一つの parametric 非流出モデルで集約する場合について検討した。

2. 非線型流出核¹⁾

非線型系への入力を $x(t)$ とすれば、出力 $y(t)$ は Volterra Series により次のように表わされる。

$$y(t) = \sum_{n=0}^{\infty} \int \cdots \int_{-\infty}^{\infty} K_n(\tau_1, \tau_2, \dots, \tau_n) \prod_{i=1}^n x(t-\tau_i) d\tau_1 d\tau_2 \cdots d\tau_n \quad (1)$$

式(1)を 2 次の項で打ち切り、 x の 2 次モーメントが大きくななければ、1 次および 2 次の核は次式で与えられる。

$$K_1(\tau_1) = \frac{1}{\bar{k}_2} \overline{y'(t)x'(t-\tau_1)} - 2\bar{\varepsilon}_x \int_{-\infty}^{\infty} K_2(\tau_1, \tau_2) d\tau_2 \quad (2)$$

$$K_2(\tau_1, \tau_2) = \frac{1}{2\bar{k}_2^2} \overline{y''(t)x'(t-\tau_1)x'(t-\tau_2)} \quad (3)$$

ここで、 $\bar{k}_2 = \int_{-\infty}^{\infty} x'(t)x'(t-\tau) dt$, $y'' = y - \bar{y}$, $x' = x - \bar{x}_x$, $\bar{\varepsilon}_x = \bar{x}$.

3. 奥河川における非線型流出の特徴

非線型核(式(3))を奥河川で求めると、例えば Fig.1 ~ Fig.4 のようになる。これらは、神流川($A=370 \text{ km}^2$), 相模川($A=1200 \text{ km}^2$), タワイヤイ川(タイ, $A=10800 \text{ km}^2$)の日データに依るものおよび梓川($A=0.4 \text{ km}^2$)の時間データに依るものであり、それらを規格化されることは、これらの核は広範囲の対象流域面積にも拘わらず共通したパターンを示す、Fig.5 のような様相を持つことを見出せる。特に時間データに基づく梓川の場合(Fig.4)を除けば、 $\tau_2 = \tau_1$ 直線上に集中した核をもつ傾向が顕著である。このことは日降雨の white noise 性質に付けることに他ならない。

4. 成分離モデルの場合

いま、单纯に、流出が 3 つの独立な線型遅れ系 $h_1(\tau)$, $h_2(\tau)$, $h_3(\tau)$ の合成

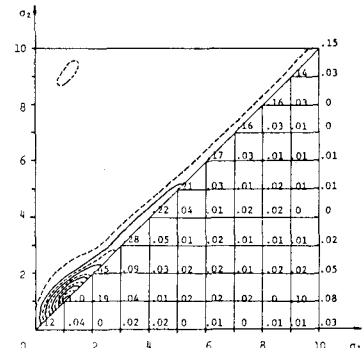


Fig.1 非線型核(神流川)

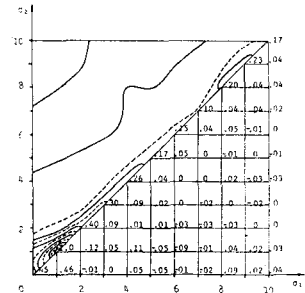


Fig.2 非線型核(相模川)

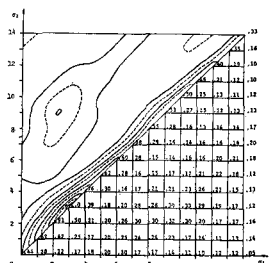


Fig.3 非線型核(タワイヤイ川)

により表わされるとする。各系への入力はFig. 6 の r_{01} , r_{02} をパラメタとして、例えば斑点部は $h_1(\tau)$ の系の入力のように制御される。モデルを鉛直方向で概念的に解説すればFig. 7 のようである。このとき流出量 $g(t)$ は次のようになる。

$$g(t) = \int_{-\infty}^{\infty} F(t, \tau) d\tau \quad (4)$$

R.E.V.,

$$F(t, \tau) = \begin{cases} h_1(\tau) r(t-\tau) & (r(t-\tau) \leq r_{01}) \\ h_1(\tau) r_{01} + h_2(\tau) \{r(t-\tau) - r_{01}\} & (r_{01} < r(t-\tau) \leq r_{01} + r_{02}) \\ h_1(\tau) r_{01} + h_2(\tau) r_{02} + h_3(\tau) \{r(t-\tau) - (r_{01} + r_{02})\} & (r(t-\tau) > r_{01} + r_{02}) \end{cases}$$

ここで、 $r = \bar{r}_n + r'$, $\bar{r}_n = \bar{r}$, $g = g_f + g'$, $g_f = \bar{g}$ とし、 P_1 , P_2 , P_3 をそれぞれ、 $r \leq r_{01}$, $r_{01} < r \leq r_{01} + r_{02}$, $r > r_{01} + r_{02}$ となる確率とする。

r' が white noise であるとき、この系全体の非線型核は式(3) より次式のようになる。

$$\begin{aligned} K_2(\sigma_1, \sigma_2) &= \frac{1}{2 k_e^2} \left[\int_{-\infty}^{\infty} F(t, \tau) d\tau - g_f \right] r'(\sigma_1 - \sigma_1) r'(\sigma_2 - \sigma_2) \\ &= \frac{k_3}{2 k_e^2} \{P_1 h_1(\sigma_1) + P_2 h_2(\sigma_1) + P_3 h_3(\sigma_1)\} \delta(\sigma_2 - \sigma_1) \end{aligned} \quad (5)$$

ここに、
 $k_3 = \iint_{-\infty}^{\infty} r'(\tau) r'(\sigma_1 - \tau) r'(\sigma_2 - \tau) d\tau d\sigma_2, \int_{-\infty}^{\infty} \delta(\tau) d\tau = 1.$

式(5)は入力の white noise 性を基づいて $\sigma_2 = \sigma_1$ の直線上にのみ分布して非線型核が存在することを示している。実流域では降雨が完全な white noise ではないこと、系相互が干渉していることなども考慮すれば、式(5)はFig. 5 のより近似の一つと考えられる。実際に印して考察するために $k_3, \delta(\sigma_1)$ と有限値と想定してみれば、各遅れ σ_1 に対して 2 つの遅れ系それを重みつきの和で非線型核が表わされ、結局 r_{01} と $h_3(\sigma_1)$ により各流域の流出特性が表現されることが判る。 $h_1(\sigma_1)$, $h_2(\sigma_1)$ と地下木添に対応させると、実流域の核の特徴からほんの 2 次以上の遅れ系を持つのが適当のようであり、 $h_3(\sigma_1)$ を表面流出系と見るとならば、神流川、相模川では 1 日後の核のピーカーが急峻であることを考慮して遅れ系を設定する必要のあることも判る。

5. 結論

non-parametric な扱いによる流出特性を把握する立場を保存せず、parametric model に集約し得る可能性について考察した。 r_{01} , r_{02} の定量化は未解決であるが、先に筆者らが提案した成分々離モデル²⁾では、少くとも遅れの大きい成分についてその値の決定方法が見つけられていま。今後さらに検討を進めていきたいと考えている。

参考文献

- 日野・砂田：非線型応答系の同定における遅延フィルター-相関法の拡張と実河川の流出予測への適用、東工大土木研究報告、10.20, 1976
- 吉川・砂田・グエン：洪水流量遮減曲線の特性を考慮した流出モデルに関する研究、土木学会論文報告集、10.283, 1979
- 日野：非線型流出解析による適応流出予測、土木学会、夏期水工研修、1975

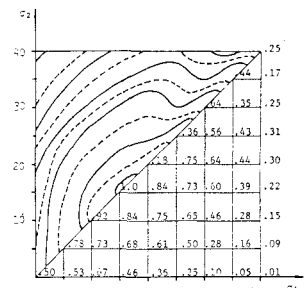


Fig. 4 非線型核 (梓川)

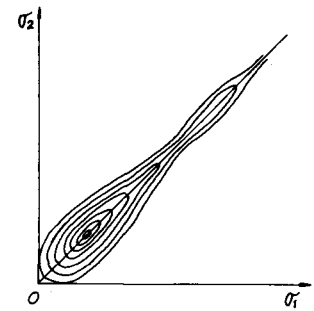


Fig. 5

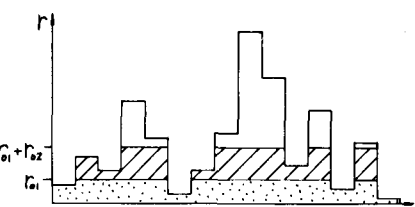


Fig. 6 降雨入力の配分

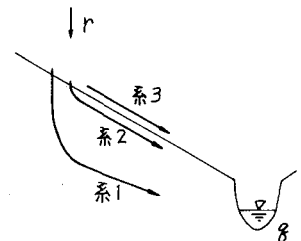


Fig. 7 モデル解釈の概念図